



# CP-safe gravity mediation and $(g-2)_\mu$

Sho IWAMOTO (岩本 祥)

Kavli IPMU, the University of Tokyo, JAPAN

30th Jul. 2014

PPP2014 @ YITP, Kyoto University

Reference)

S.I., Tsutomu T. Yanagida, Norimi Yokozaki [[1407.4226](#)].

これまで

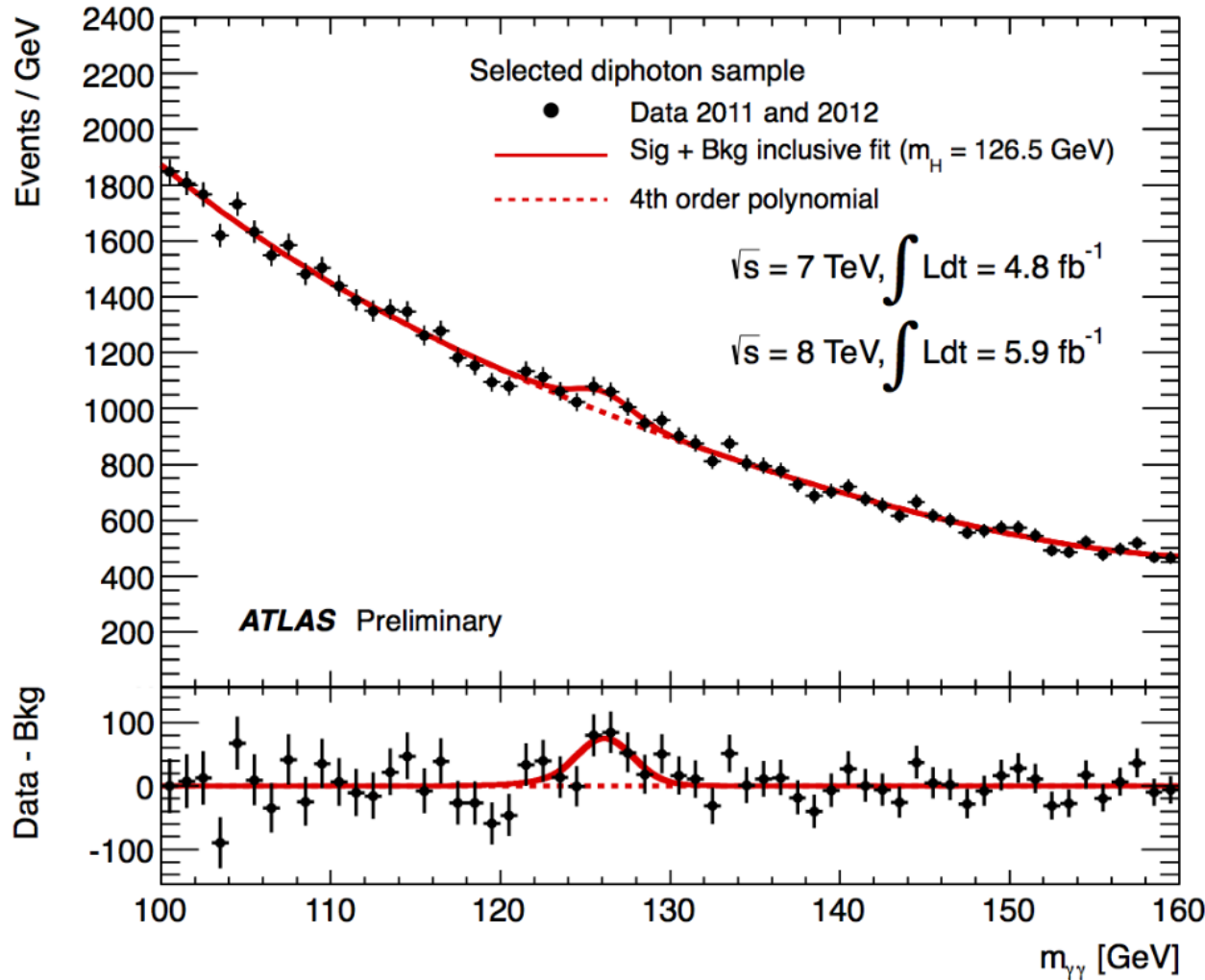
の

あらすじ

2012年

7月4日

# $h \rightarrow \gamma\gamma$



その後



SUSYとは  
何だったのか

LHC  $\longrightarrow$  SUSY  $> \mathcal{O}(1) \text{TeV}$

$$\begin{aligned} m_h = 126 \text{ GeV} && \tilde{q}, \tilde{g} \text{ 探索} \\ \Rightarrow \tilde{t} = \mathcal{O}(1\text{-}10) \text{ TeV} && \Rightarrow \tilde{q}, \tilde{g} > 1\text{-}2 \text{ TeV} \end{aligned}$$

LHC → SUSY >  $\mathcal{O}(1)$  TeV

▶ あきらめる  
たたかう

LHC → SUSY >  $\mathcal{O}(1)$  TeV

▶ あきらめる  
たたかう

→ 100 TeV collider

の話は次回。 無事帰国できたら。

(すみません.....。)

LHC → SUSY >  $\mathcal{O}(1)$  TeV

あきらめる

→ たたかう

最後の希望

$(g - 2)_\mu$

# **CP-safe gravity mediation and $(g-2)_\mu$**

Sho IWAMOTO (岩本 祥)

Kavli IPMU, the University of Tokyo, JAPAN

30th Jul. 2014

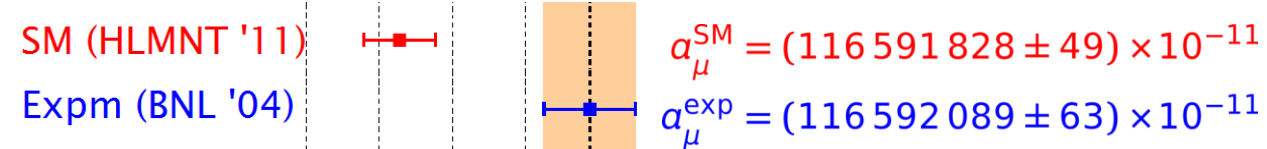
PPP2014 @ YITP, Kyoto University

Reference)

S.I., Tsutomu T. Yanagida, Norimi Yokozaki [[1407.4226](#)].

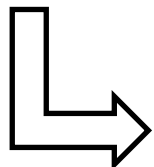
# Introduction: Muon $g-2$ いつものスライド

Muon  $g-2$  (anomalous magnetic moment)



Hagiwara, Liao, Martin, Nomura, Teubner [[1105.3149](#)]

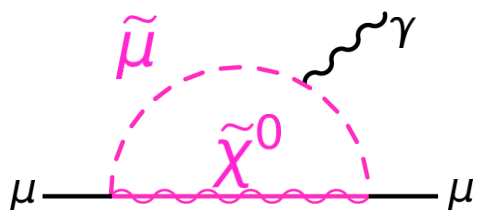
$3.3\sigma$  discrepancy



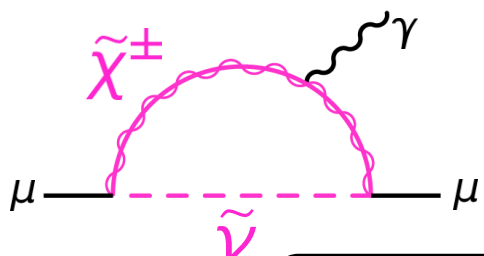
SUSY with

O(100)GeV electroweakino.

$(\tilde{l}, \tilde{\nu}, \tilde{\chi}^0, \tilde{\chi}^+)$



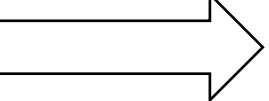
$$a_{\mu}^{\text{SUSY}}(\tilde{\chi}^0, \tilde{\mu}) \approx \frac{g_Y^2}{(4\pi)^2} \frac{m_{\mu}^2}{m_{\text{soft}}^2} \text{sgn}(\mu) \tan \beta + \dots,$$



$$a_{\mu}^{\text{SUSY}}(\tilde{\chi}^{\pm}, \tilde{\nu}) \approx \frac{g_2^2}{(4\pi)^2} \frac{m_{\mu}^2}{m_{\text{soft}}^2} \text{sgn}(\mu) \tan \beta.$$

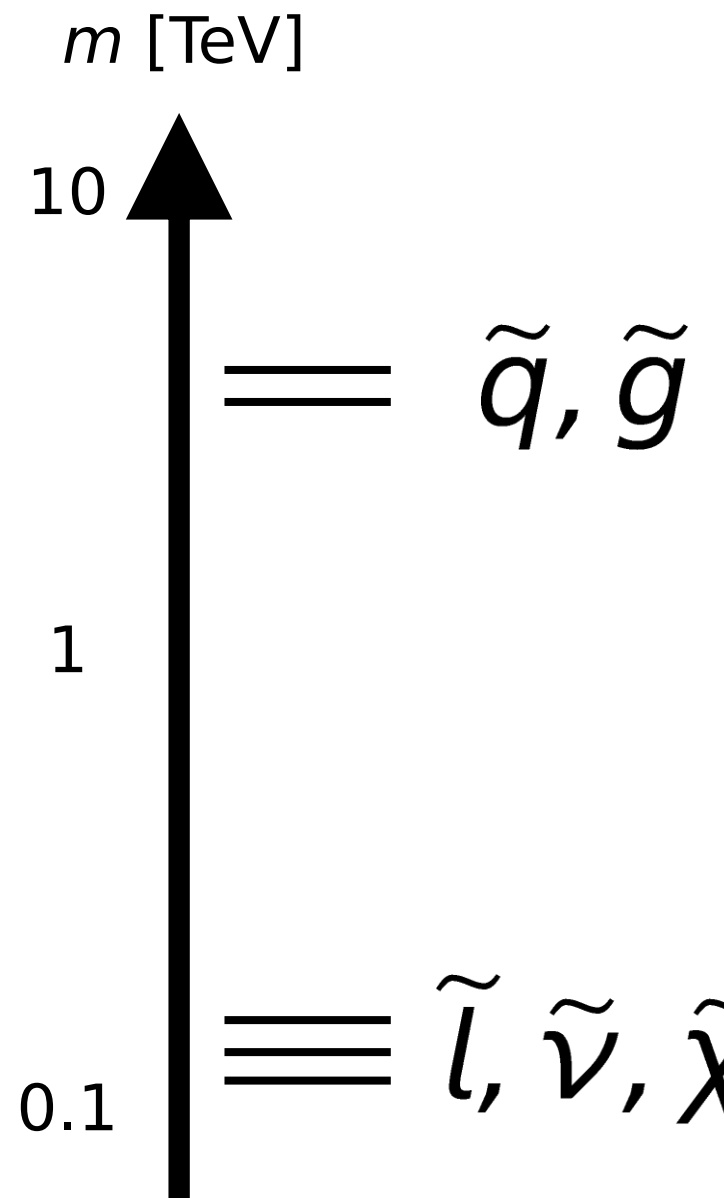
$W \ni \mu H_u H_d$  (Higgsino mass term),       $\tan \beta = \langle H_u \rangle / \langle H_d \rangle$ ,  
 $m_{\text{soft}}$  : SUSY-particle mass-scale,       $g_i$  : Gauge couplings.

$$\left( a_{\mu} := \frac{g_{\mu} - 2}{2} \right)$$

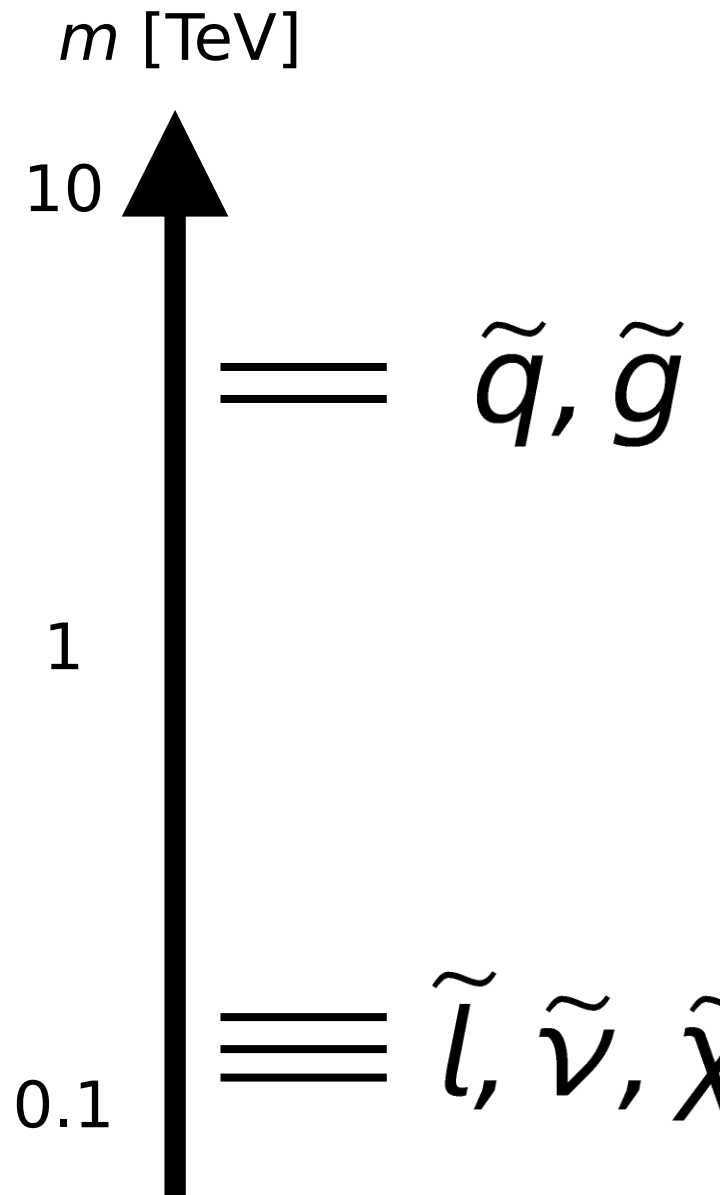
LHC  SUSY >  $\mathcal{O}(1)$  TeV

$$\begin{aligned} m_h = 126 \text{ GeV} && \tilde{q}, \tilde{g} \text{ 探索} \\ \Rightarrow \tilde{t} = \mathcal{O}(1\text{-}10) \text{ TeV} && \Rightarrow \tilde{q}, \tilde{g} > 1\text{-}2 \text{ TeV} \end{aligned}$$

$$\begin{aligned} (g - 2)_\mu &\\ \xrightarrow{\hspace{1cm}} & (\tilde{l}, \tilde{\nu}, \tilde{\chi}^0, \tilde{\chi}^+) \\ &= \mathcal{O}(100) \text{ GeV} \end{aligned}$$



角牛



よくある質問：  
~~SUSY~~ 模型はあるの？

角牛

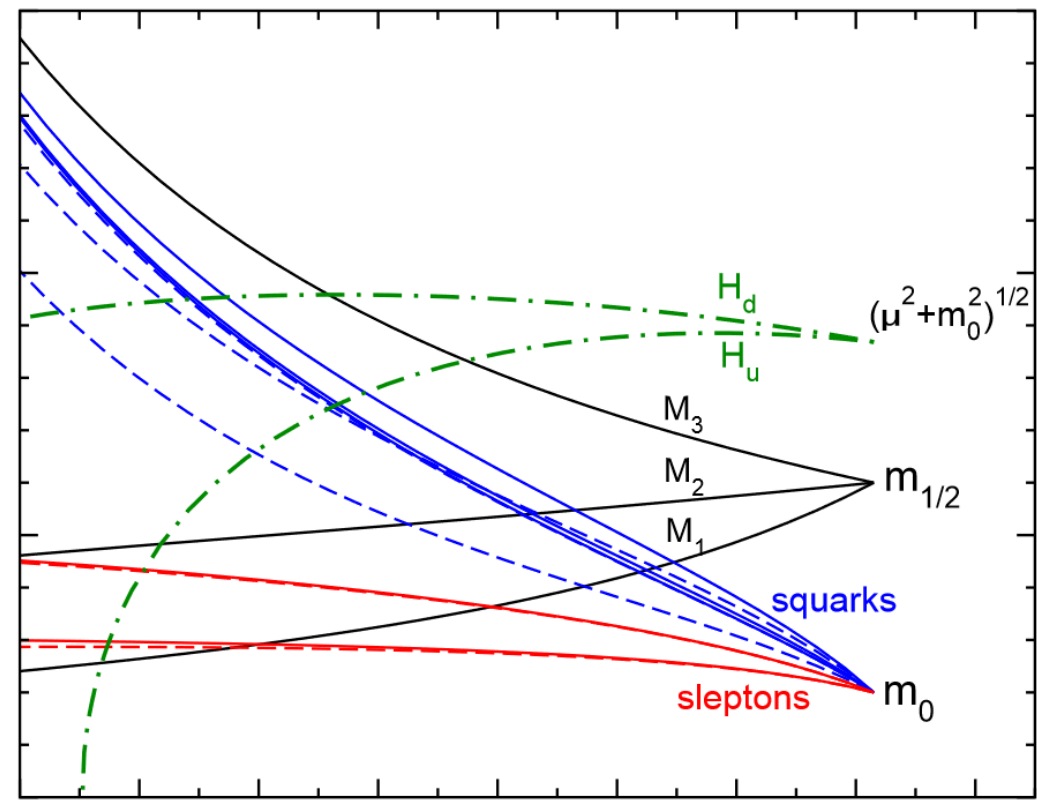
◎ 単純な模型では困難 (CMSSM, mGMSB)

$\equiv \tilde{q}, \tilde{g}$

$\equiv \tilde{l}, \tilde{\nu}, \tilde{\chi}$

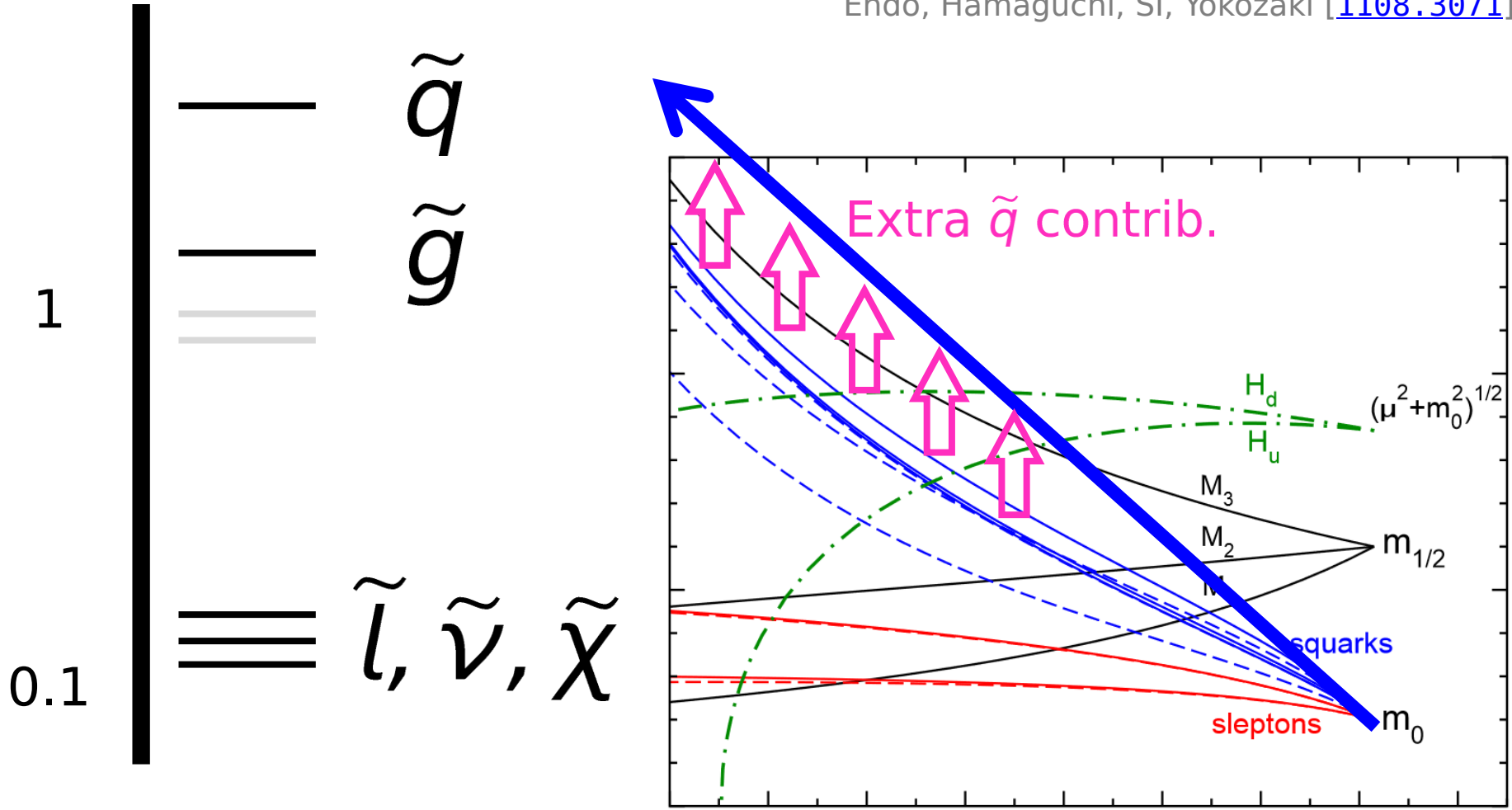
[constrained MSSM]

[minimal gauge-mediated SUSY breaking]



- ◎ 単純な模型では困難 (~~CMSSM, mGMSB~~)
- ◎ GMSB + Extra Quarks (4<sup>th</sup> gen., vector-like)

Endo, Hamaguchi, SI, Yokozaki [1108.3071]



- ◎ 単純な模型では困難 (~~CMSSM, mGMSB~~)

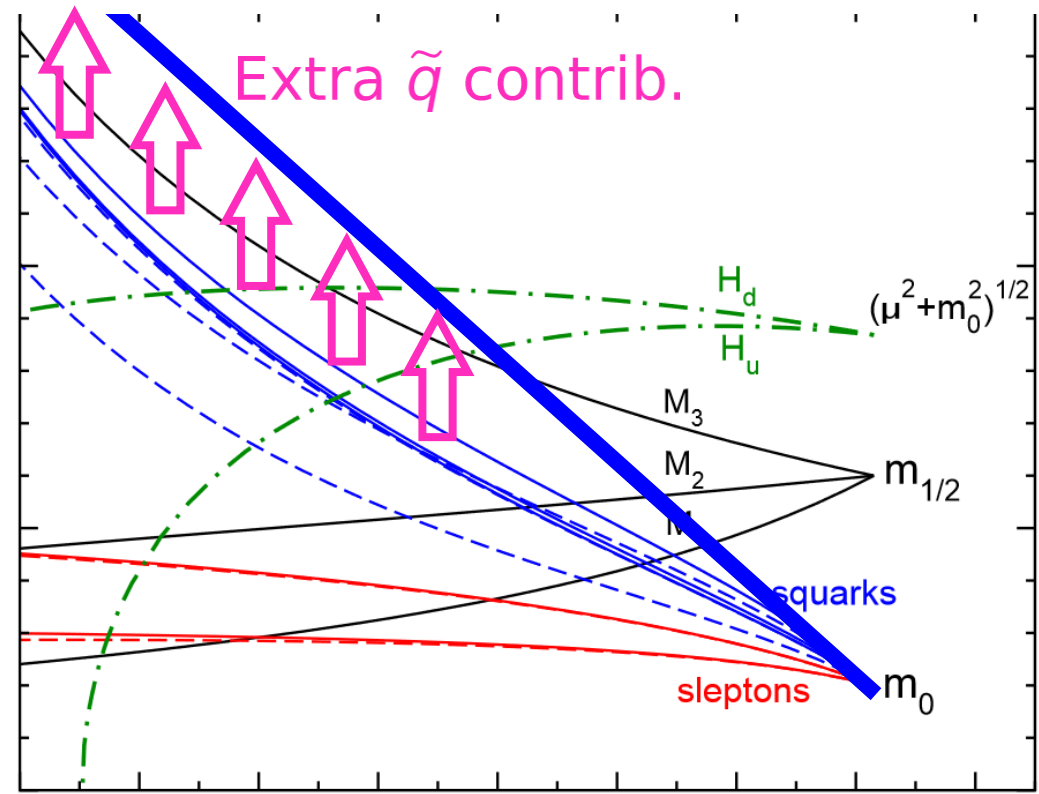
- ◎ GMSB + Extra Quarks (4<sup>th</sup> gen., vector-like)

➤  $\tilde{g}$  探索で厳しめ。

Endo, Hamaguchi, SI, Yokozaki [[1108.3071](#)]

Endo, Hamaguchi, Ishikawa, SI, Yokozaki [[1212.3935](#)]

$$\begin{aligned}
 \text{---} &= \tilde{g} \\
 \text{---} &= \tilde{l}, \tilde{\nu}, \tilde{\chi}
 \end{aligned}$$



- ◎ 単純な模型では困難 (~~CMSSM, mGMSB~~)

- ◎ GMSB + Extra Quarks (4<sup>th</sup> gen., vector-like)

➤  $\tilde{g}$  探索で厳しめ。

- ◎ NUGM [Non-universal gaugino mass]

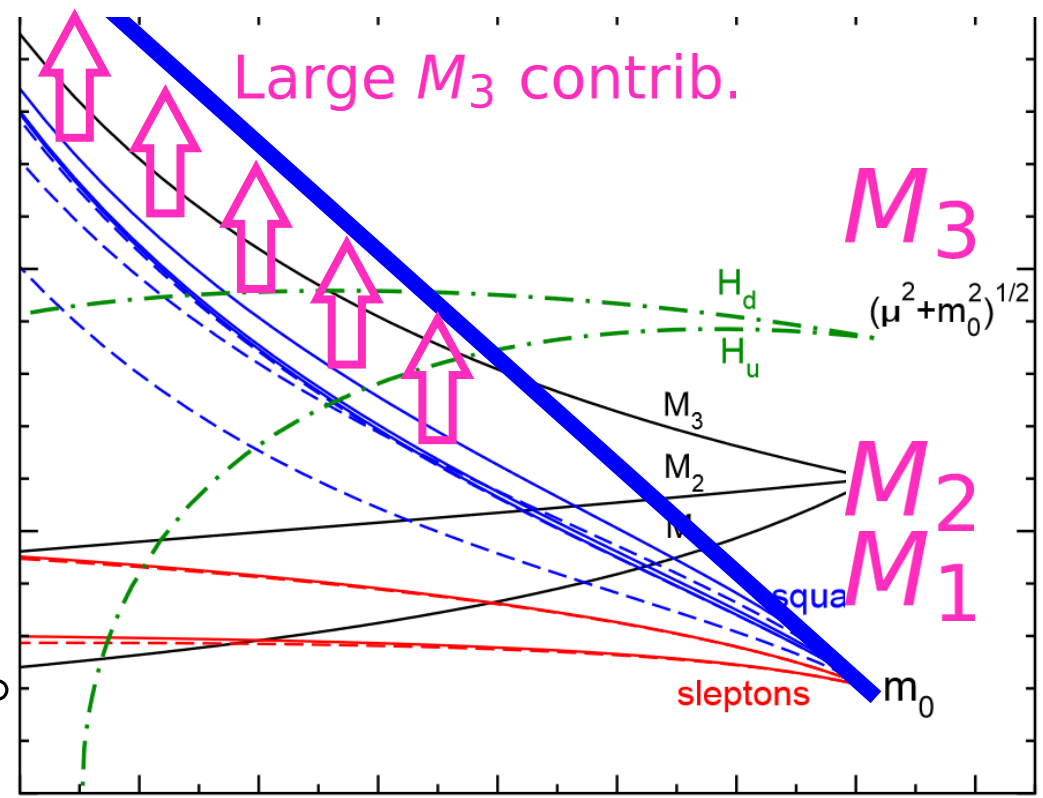
➤ CMSSM で  
 $M_i$  をバラす模型。

$(m_0, A_0, \text{sgn } \mu, \tan \beta,$   
 $M_1, M_2, M_3)$

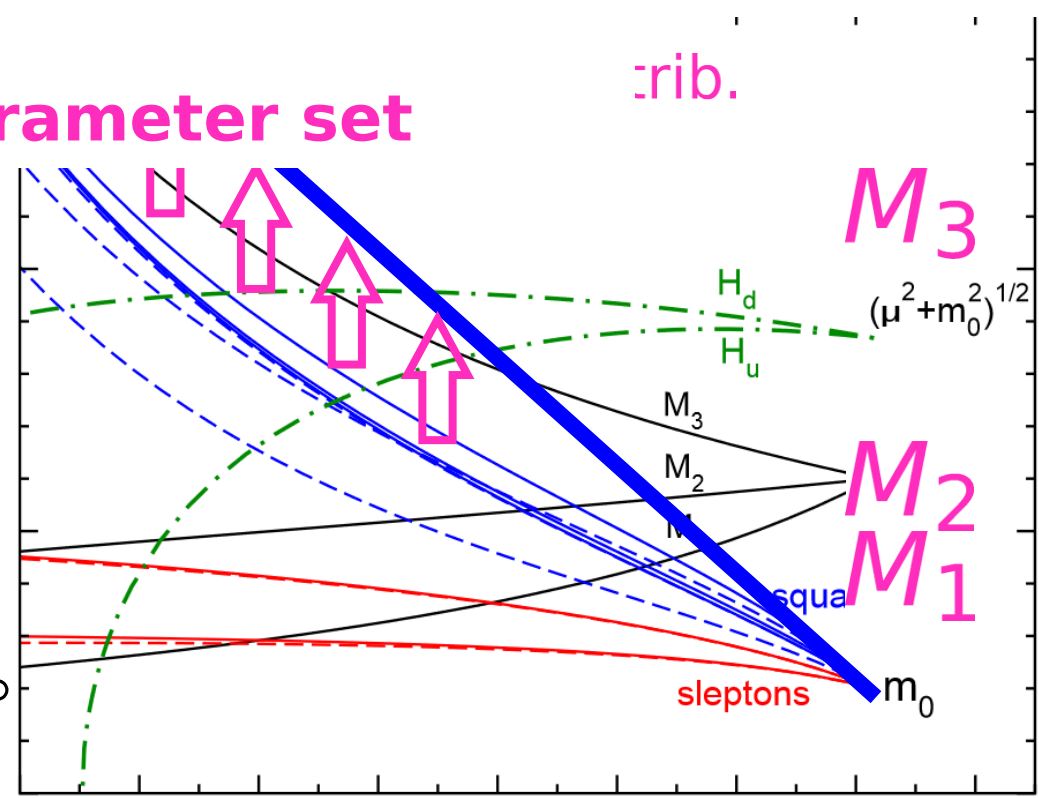
➤ 実現可能。

Ghilencea, Lee, Park [[1203.0569](#)]

➤ Flavor & CP 問題。



- ◎ 単純な模型では困難 (~~CMSSM, mGMSB~~)
- ◎ GMSB + Extra Quarks (4<sup>th</sup> gen., vector-like)
  - $\tilde{g}$  探索で厳しめ。
- ◎ NUGM [Non-universal gaugino mass]
  - CMSSM で **parameter set**  
 $M_i$  をバラす模型  
 $(m_0, A_0, \text{sgn } \mu, \tan \beta, M_1, M_2, M_3)$
  - 実現可能。  
 Ghilencea, Lee, Park [[1203.0569](#)]
  - Flavor & CP 問題。



# ◎ CP 問題 ?

- MSSM: Many complex parameters ( $A_{u,d,e}, M_{1,2,3}, \mu, B$ )
- Phase の不一致 → CP-violation

ACME collab. [[1310.7534](#)]

$$\text{EDM} \propto \text{Im} \left[ \begin{array}{c} \tilde{l} \\ \tilde{\chi}^0 \end{array} \right] < 8.7 \times 10^{-29} \text{ e cm}$$

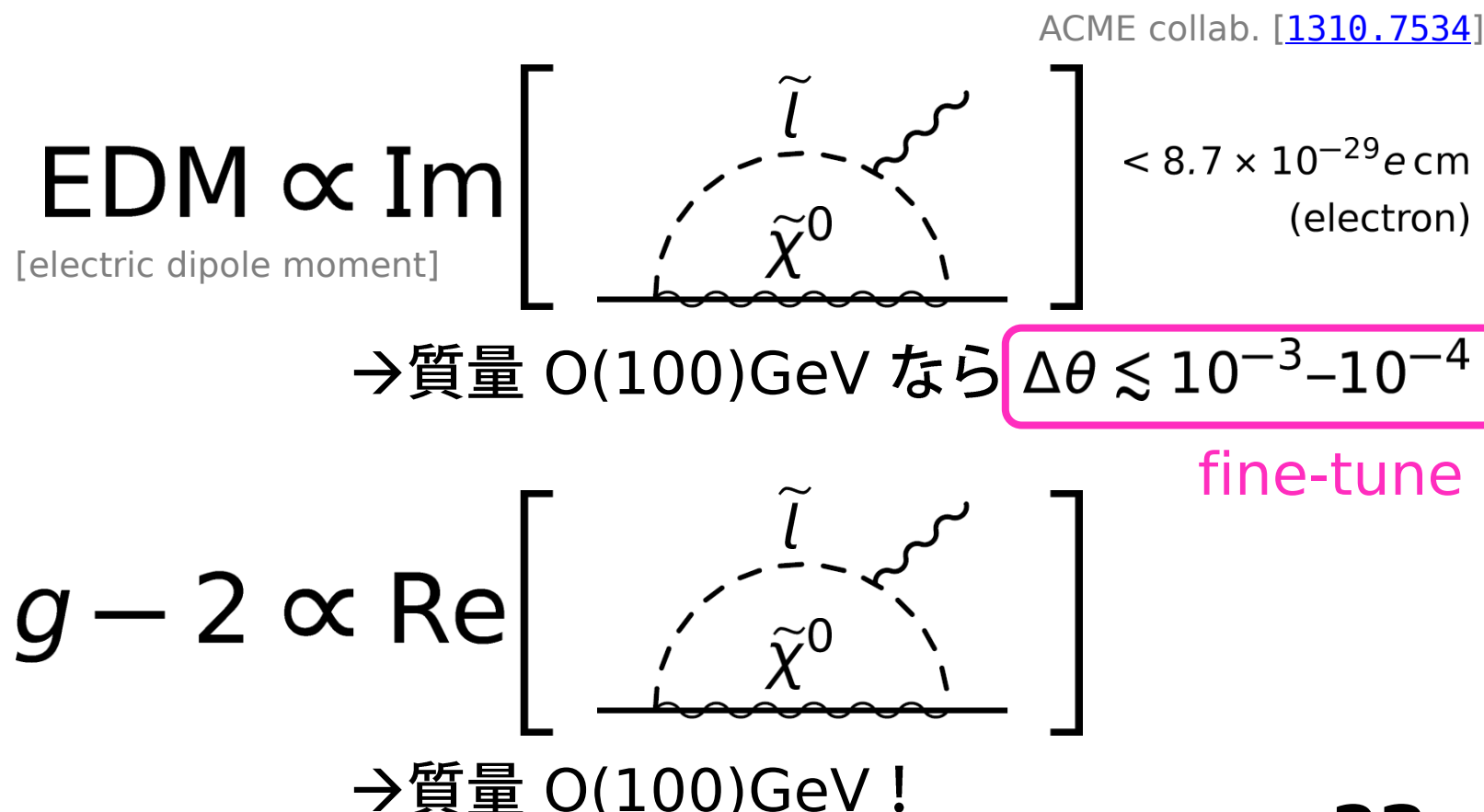
[electric dipole moment]

(electron)

→ 質量  $O(100)\text{GeV}$  なら  $\Delta\theta \lesssim 10^{-3}\text{-}10^{-4}$

# ◎ CP 問題？

- MSSM: Many complex parameters ( $A_{u,d,e}, M_{1,2,3}, \mu, B$ )
- Phase の不一致 → CP-violation



# ◎ CP 問題？

- MSSM: Many complex parameters ( $A_{u,d,e}, M_{1,2,3}, \mu, B$ )
- Phase の不一致 → CP-violation
- O(100)GeV SUSY では不可避の問題。

$$\text{EDM} \propto \text{Im} \left[ \begin{array}{c} \tilde{l} \\ \tilde{\chi}^0 \end{array} \right]$$

[electric dipole moment]

ACME collab. [[1310.7534](#)]

$< 8.7 \times 10^{-29} \text{ e cm}$   
(electron)

→ 質量 O(100)GeV なら  $\Delta\theta \lesssim 10^{-3} - 10^{-4}$

$$g - 2 \propto \text{Re} \left[ \begin{array}{c} \tilde{l} \\ \tilde{\chi}^0 \end{array} \right]$$

fine-tune

→ 質量 O(100)GeV !

## ◎ CP 問題？

- MSSM: Many complex parameters ( $A_{u,d,e}, M_{1,2,3}, \mu, B$ )
- Phase の不一致 → CP-violation
- O(100)GeV SUSY では不可避の問題。

→解きました。

## CP-safe gravity mediation

- ✓ SUSY CP 問題を かなり 解いた。
- ✓ NUGM-like scenario が実現可能。

→ O(100)GeV SUSY の理論的裏付け。  
(応用例 :  $(g - 2)_\mu$  anomaly)



Scalar mass  $(m_0^2)_{ij}$  の部分は  
解いていない。

→ Flavor 問題との関連。  
同時に解決する必要アリ。

(OR:  $m_0^2 = 0$  の可能性)

ters  $(A_{u,d,e}, M_{1,2,3}, \mu, B)$

問題。

→解きました。

## CP-safe gravity mediation

- ✓ SUSY CP 問題をかなり解いた。
- ✓ NUGM-like scenario が実現可能。

→ O(100)GeV SUSY の理論的裏付け。  
(応用例 :  $(g - 2)_\mu$  anomaly)

1. Introduction
2. なぜ CP は破れるのか
3. CP-safe Gravity Mediation
4.  $g$ -2 への応用と 14TeV LHC

Reference)

S.I., Tsutomu T. Yanagida, Norimi Yokozaki [[1407.4226](#)].

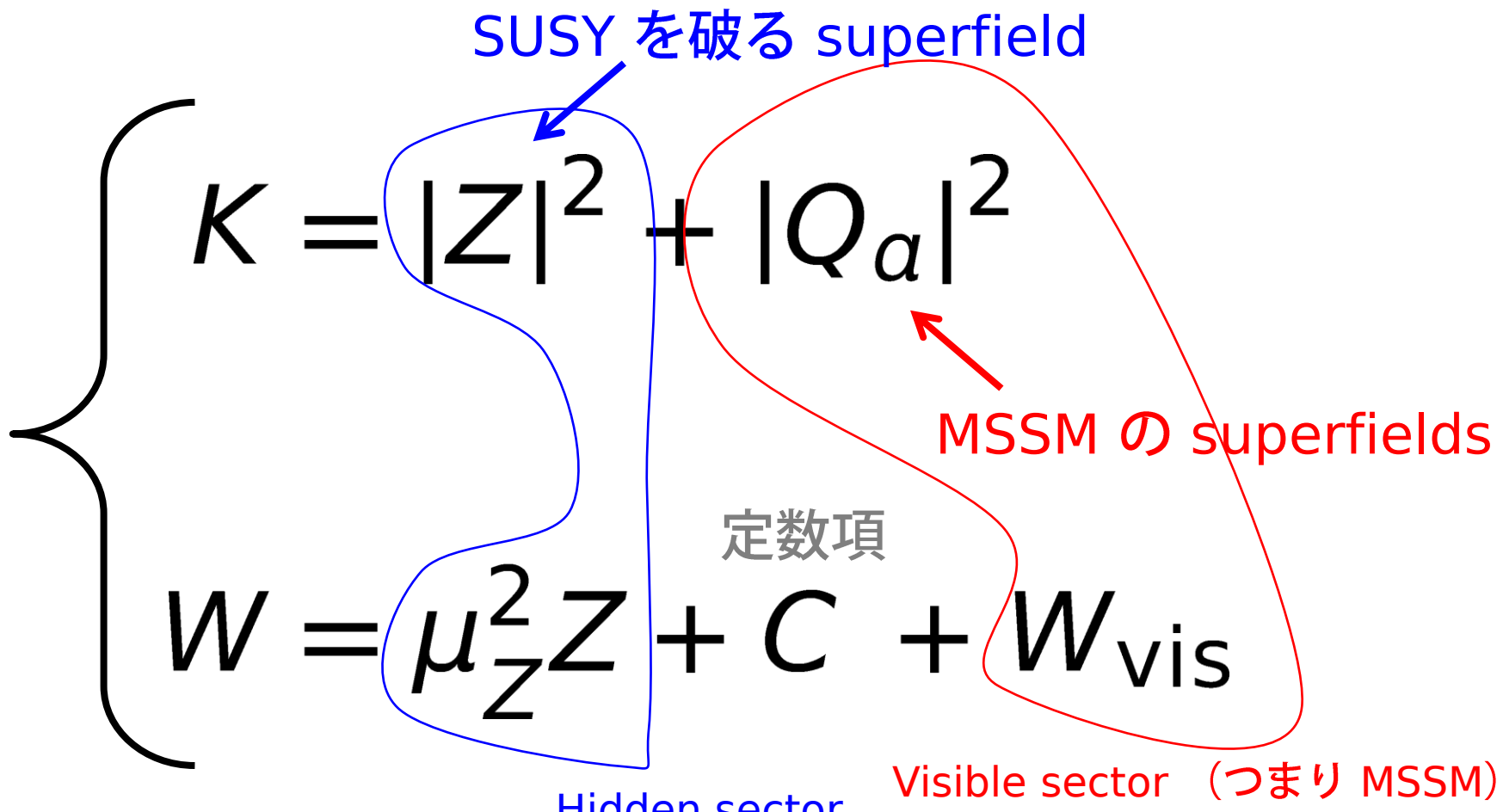
1. Introduction
2. なぜ CP は破れるのか
3. CP-safe Gravity Mediation
4.  $g$ -2への応用と 14TeV LHC

Reference)

S.I., Tsutomu T. Yanagida, Norimi Yokozaki [[1407.4226](#)].

## ◎ 例) Polonyi model

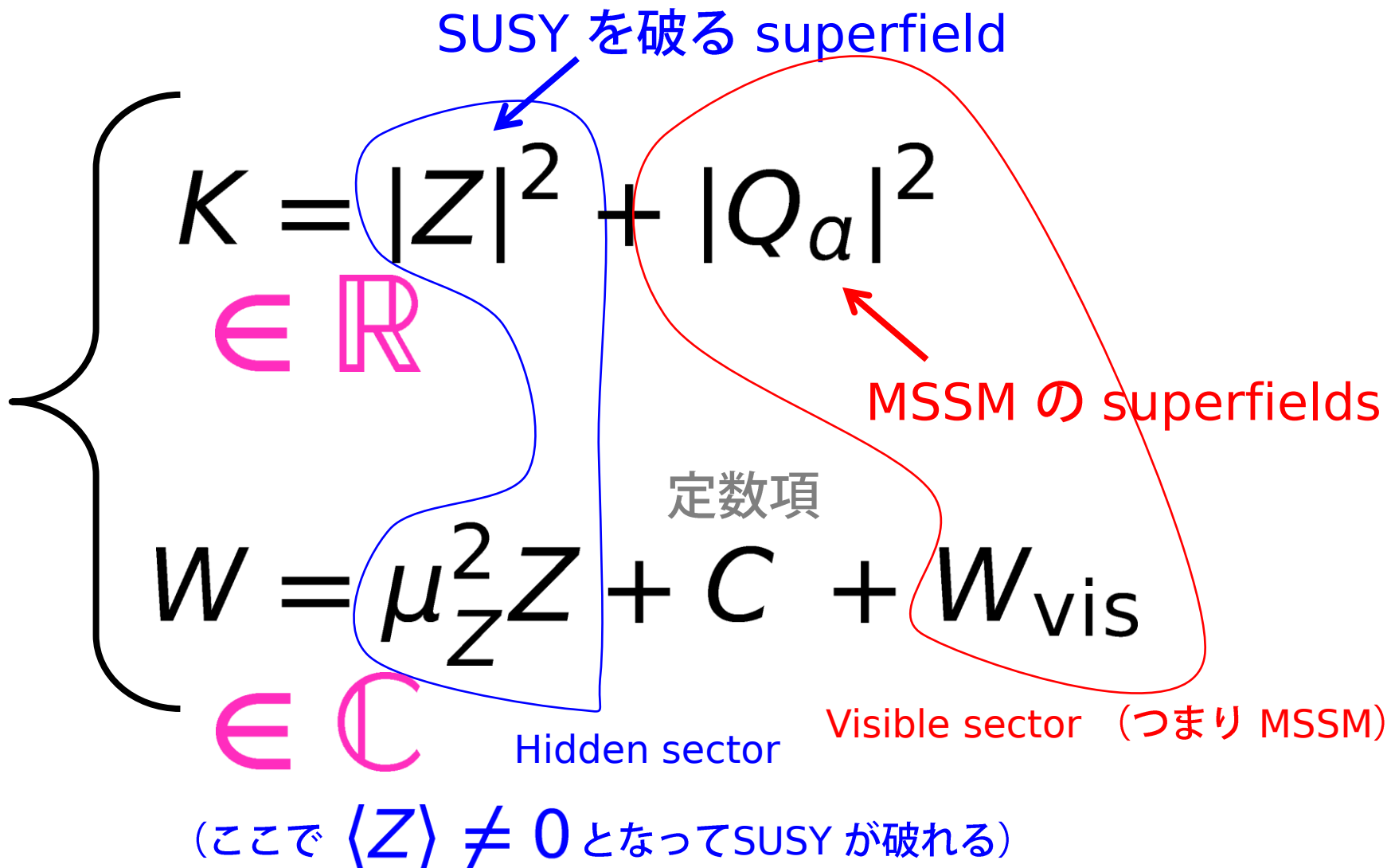
$$\mathcal{L} = \int d^2\theta d^2\bar{\theta} K(\Phi, \bar{\Phi}) + \left( \int d^2\theta W(\Phi) + \text{h.c.} \right) + \dots$$



(ここで  $\langle Z \rangle \neq 0$  となってSUSY が破れる)

## ◎ 例) Polonyi model

$$\mathcal{L} = \int d^2\theta d^2\bar{\theta} K(\Phi, \bar{\Phi}) + \left( \int d^2\theta W(\Phi) + \text{h.c.} \right) + \dots$$



## ◎ 例) Polonyi model

$$\mathcal{L} = \int d^2\theta d^2\bar{\theta} K(\Phi, \bar{\Phi}) + \left( \int d^2\theta W(\Phi) + \text{h.c.} \right) + \dots$$

$$\left. \begin{aligned} K &= |Z|^2 + |Q_a|^2 \\ &\in \mathbb{R} \\ W &= \mu_z^2 z + C \in \mathbb{C} \\ &\quad W_{\text{vis}} \\ \langle Z \rangle &\neq 0 \in \mathbb{C} \end{aligned} \right\}$$

→ 位相の不一致

1. Introduction
2. なぜ CP は破れるのか
3. **CP-safe Gravity Mediation**
4.  $g$ -2への応用と 14TeV LHC

Reference)

S.I., Tsutomu T. Yanagida, Norimi Yokozaki [[1407.4226](#)].

## ◎ CP-safe gravity mediation :

Shift sym. of  $Z$  & ~~SUSY~~ in  $K$ 

$$(Z \rightarrow Z + i\mathcal{R}) \quad (\mathcal{R} \in \mathbb{R})$$

Izawa, Kugo, Yanagida [1008.4641]

$$\Rightarrow \langle Z \rangle \in \mathbb{R}$$

$$K = s(Z + Z^*) + |Q_a|^2$$

$s \in \mathbb{R}$  : 複雑な関数

→ SUSY breaking

$$W = \underline{C} + W_{\text{vis}}$$

唯一の complex

- CP-safe gravity mediation :  
Shift sym. of  $Z$  & ~~SUSY~~ in  $K$   
 $(Z \rightarrow Z + i\mathcal{R}) \ (\mathcal{R} \in \mathbb{R})$        $\Rightarrow \langle Z \rangle \in \mathbb{R}$



$$K = s(Z + Z^*) + |Q_a|^2$$

$s \in \mathbb{R}$  : 複雑な関数

$\rightarrow$  SUSY breaking

具体例 :

$$s(x) = -3 + c_1x + c_2x^2 + c_3x^3 + c_4x^4$$

$$\text{with } c_2 = 3c_3^2/8c_4, 768c_4^3 + 64c_1c_3c_4^2 - 3c_3^4 > 0.$$

$$\Rightarrow \langle x \rangle = -c_3/4c_4.$$

Scalar potential  $V$ についての条件

$$\langle V \rangle = 0 \text{ (vanishing cosmo const)}, \quad \left\langle \frac{\partial V}{\partial Z} \right\rangle = 0 \text{ (Z-stationary cond.)}$$

を解析し,  $M_i, A_0, B/\mu$  を求める。

$$V = e^{K/M_P^2} \left( \frac{s'(x)^2}{M_P^2 s''(x)} - 3 \right) \frac{|W|^2}{M_P^2} + e^{K/M_P^2} \left| \frac{\partial W}{\partial Q_a} + \frac{\partial W}{\partial Q_a} \frac{W}{M_P^2} \right|$$

$$\text{where } x = \langle Z + Z^* \rangle.$$

$$\Rightarrow \frac{s'(x)^2}{M_P^2 s''(x)} = 3, \quad \frac{\partial}{\partial x} \frac{s'(x)^2}{s''(x)} = 0.$$

$$\begin{cases} B_\mu/\mu = 2m_{3/2}e^{-i \arg C} \\ A_0 = 3m_{3/2}e^{-i \arg C} \\ m_0^2 = m_{3/2}^2 \end{cases} \quad \text{where } m_{3/2}^2 = |C|^2 e^{s/M_P^2} / M_P^4$$

## Gaugino mass term:

$$\mathcal{L} \ni \int d^2\theta \left( \frac{1}{4g_i^2} + k_i \frac{Z}{M_P} \right) W^\alpha W_\alpha$$

Shift sym. により禁止。  $k_i \in \mathbb{R}$

$\langle Z \rangle \neq 0 \Rightarrow$  shift sym. 破れる。

$\Rightarrow$  shift sym. の anomaly により出てくる。

(ただし値は未知)

$$\implies M_i = k_i g_i^2 \frac{\langle F_Z \rangle}{M_P} = -3k_i g_i^2 m_{3/2} \frac{M_P C^*}{s'(x)}$$

$$\begin{cases} B_\mu / \mu = 2m_{3/2} e^{-i \arg C} \\ A_0 = 3m_{3/2} e^{-i \arg C} \\ m_0^2 = m_{3/2}^2 \end{cases} \quad \text{where } m_{3/2}^2 = |C|^2 e^{s/M_P^2} / M_P^4$$

## Gaugino mass term:

$$\mathcal{L} \ni \int d^2\theta \left( \frac{1}{4g_i^2} + k_i \frac{Z}{M_P} \right) W^\alpha W_\alpha$$

Shift sym. により禁止。  $k_i \in \mathbb{R}$

$\langle Z \rangle \neq 0 \Rightarrow$  shift sym. 破れる。

$\Rightarrow$  shift sym. の anomaly により出てくる。

(ただし値は未知)

$$\implies M_i = k_i g_i^2 \frac{\langle F_Z \rangle}{M_P} = -3k_i g_i^2 m_{3/2} \frac{M_P C^*}{s'(x)}$$

$$\left\{ \begin{array}{l} B_\mu / \mu = 2m_{3/2} e^{-i \arg C} \\ A_0 = 3m_{3/2} e^{-i \arg C} \\ m_0^2 = m_{3/2}^2 \end{array} \right. \quad \text{where } m_{3/2}^2 = |C|^2 e^{s/M_P^2} / M_P^4$$

(unphysical phase)

1. Introduction
2. なぜ CP は破れるのか (基礎編)
3. CP-safe Gravity Mediation
4.  $g$ -2への応用と 14TeV LHC

Reference)

S.I., Tsutomu T. Yanagida, Norimi Yokozaki [[1407.4226](#)].

# Parameters: $M_i, \tan \beta, \operatorname{sgn} \mu$

$\langle Z \rangle \neq 0 \Rightarrow$  shift sym. 破れる。

$\Rightarrow$  shift sym. の anomaly により出てくる。

$$k_i \in \mathbb{R}$$

(ただし値は未知)

$\rightarrow$  Parameters

$$\Rightarrow M_i = k_i g_i^2 \frac{\langle F_Z \rangle}{M_P} = -3k_i g_i^2 m_{3/2} \frac{M_P C^*}{s'(x)}$$

$$B_\mu / \mu = 2m_{3/2} e^{-i \arg C}$$

$$A_0 = 3m_{3/2} e^{-i \arg C}$$

$$m_0^2 = m_{3/2}^2 \quad \text{where } m_{3/2}^2 = |C|^2 e^{s/M_P^2} / M_P^4$$

$\rightarrow$  EWSB 条件から決まる。

不

良

中

- CP-safe gravity mediation :  
Shift sym. of  $Z$  & ~~SUSY~~ in  $K$

$$K = s(Z + Z^*) + \cancel{|Q_a|^2}$$

$$+ \frac{1 + \alpha_1(Z + Z^*) + \alpha_2(Z + Z^*)^2}{r} |Q_a|^2$$

$W = C + W_{\text{vis}}$

$(r = 1 + \alpha_1 x + \alpha_2 x^2)$

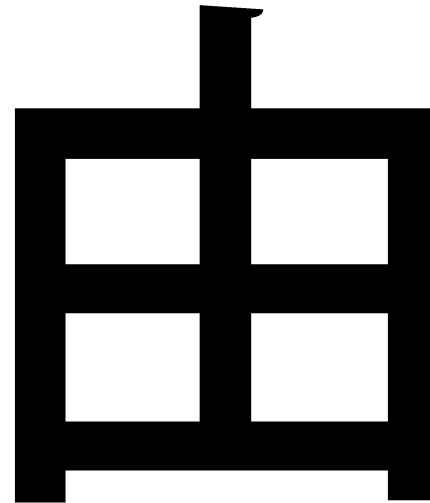
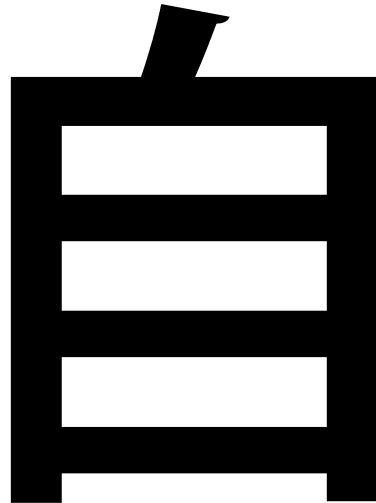
Kähler なので real.

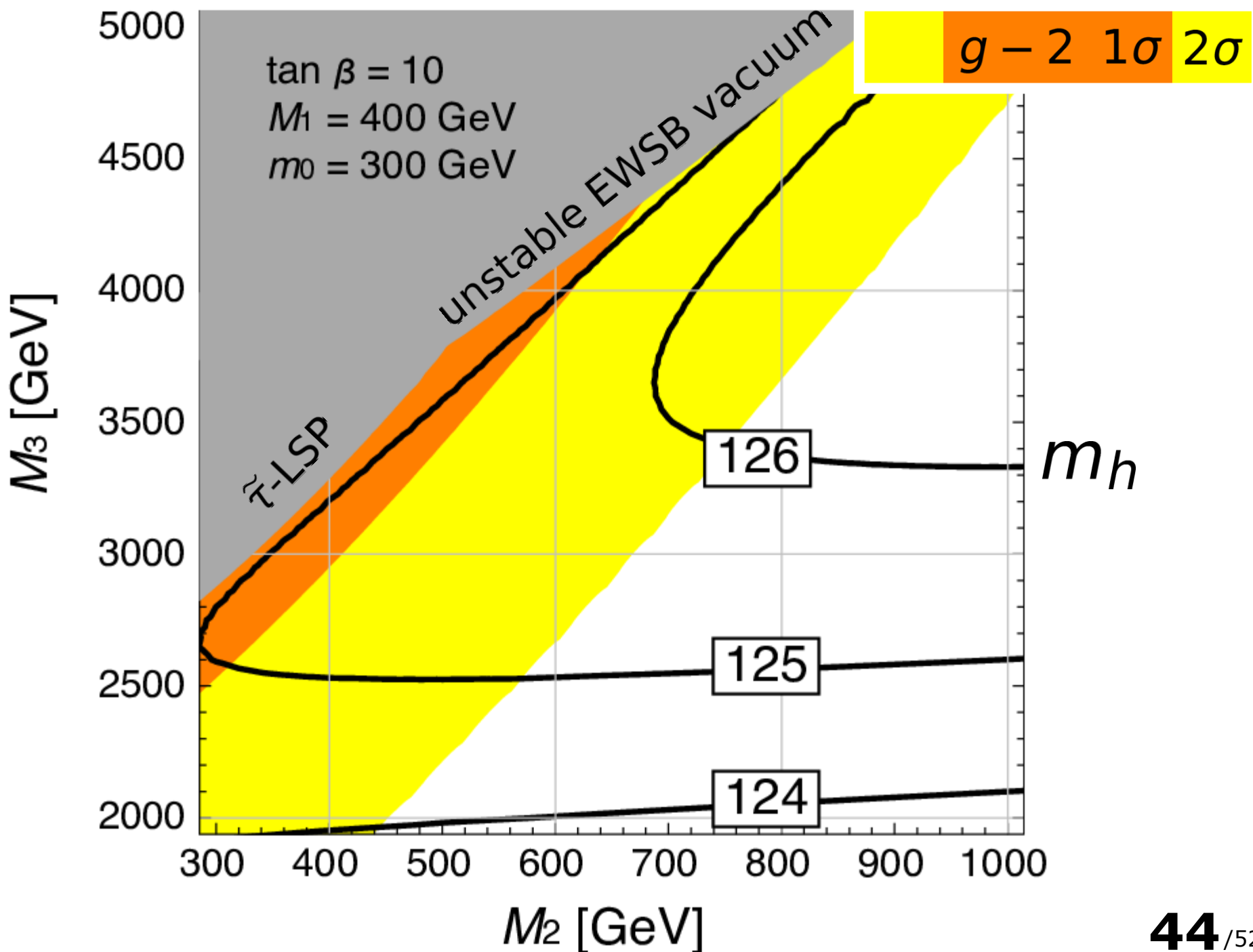
Parameters:  $M_i$ ,  $\tan \beta$ ,  $\text{sgn } \mu$

and  $m_0^2$

$$\left\{ \begin{array}{l} K = s(Z + Z^*) + |\mathbf{Q}_a|^2 \\ \quad + \frac{1 + \alpha_1(Z + Z^*) + \alpha_2(Z + Z^*)^2}{r} |\mathbf{Q}_a|^2 \\ \\ W = C + W_{\text{vis}} \end{array} \right.$$

$(r = 1 + \alpha_1 x + \alpha_2 x^2)$   
 ↑      ↑  
 Kähler なので real.





なにがおきているのか

Parameters:  $M_i$ ,  $\tan \beta$ ,  $\text{sgn } \mu$  and  $m_0^2$

$$\left. \begin{array}{l} m_0 = 300 \text{ GeV}, \\ M_1 = 400 \text{ GeV}, \\ M_2 \simeq 500 \text{ GeV}, \\ M_3 = 2000-5000 \text{ GeV} \end{array} \right\}$$

$\Rightarrow$  heavy  $\tilde{g}$

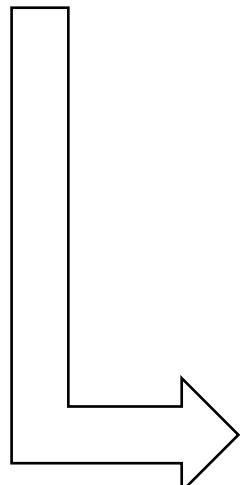
$\mathcal{O}(100) \text{ GeV } \tilde{l}, \tilde{\nu}, \tilde{\chi}^{\pm, 0}$



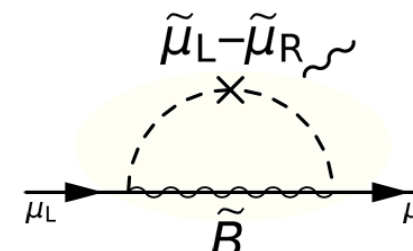
heavy  $\tilde{q}$  ( $\sim 5 \text{ TeV}$ )

large  $\mu$

$\Rightarrow$  large  $\tilde{l}_L - \tilde{l}_R$  mix.



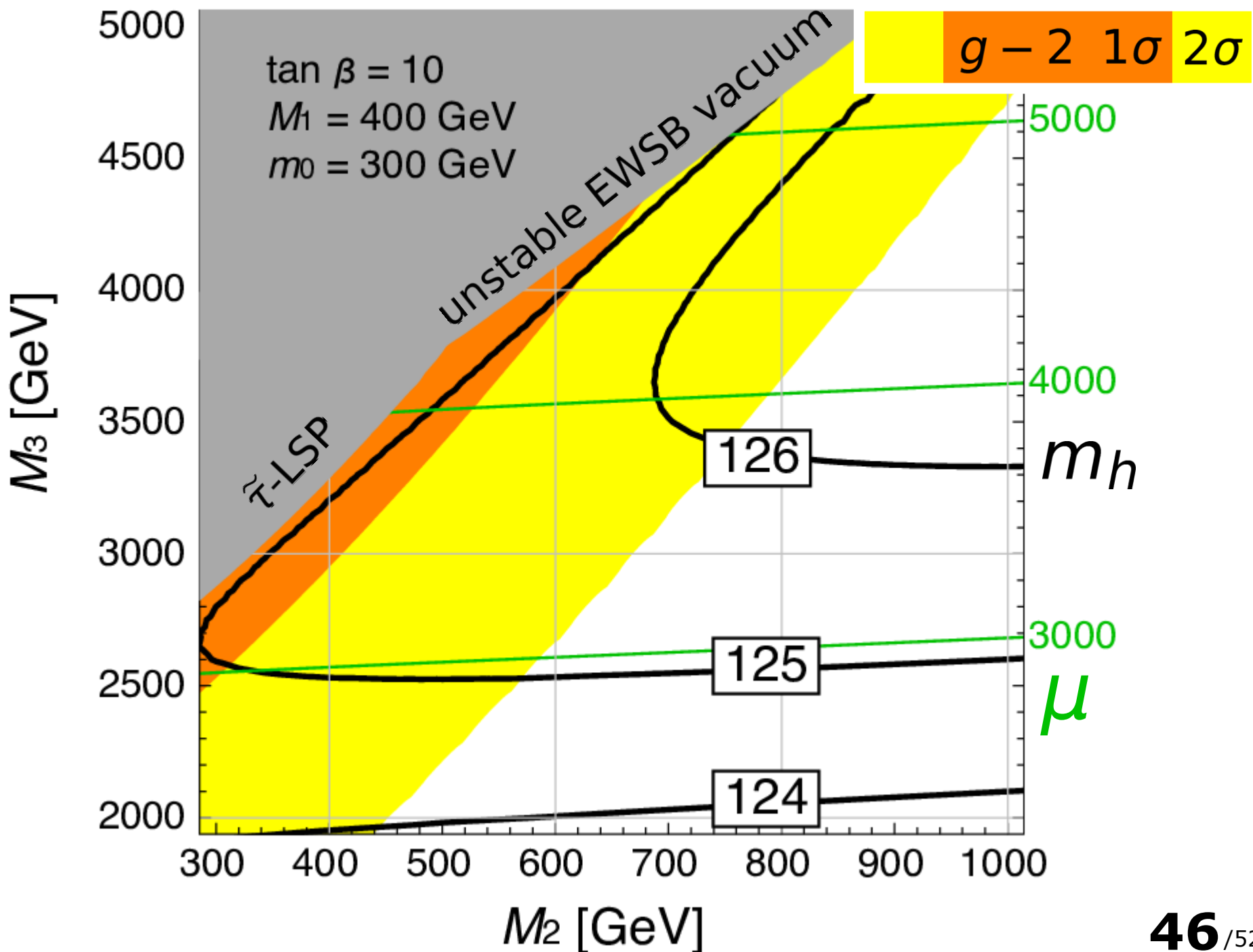
$(g - 2)_\mu$

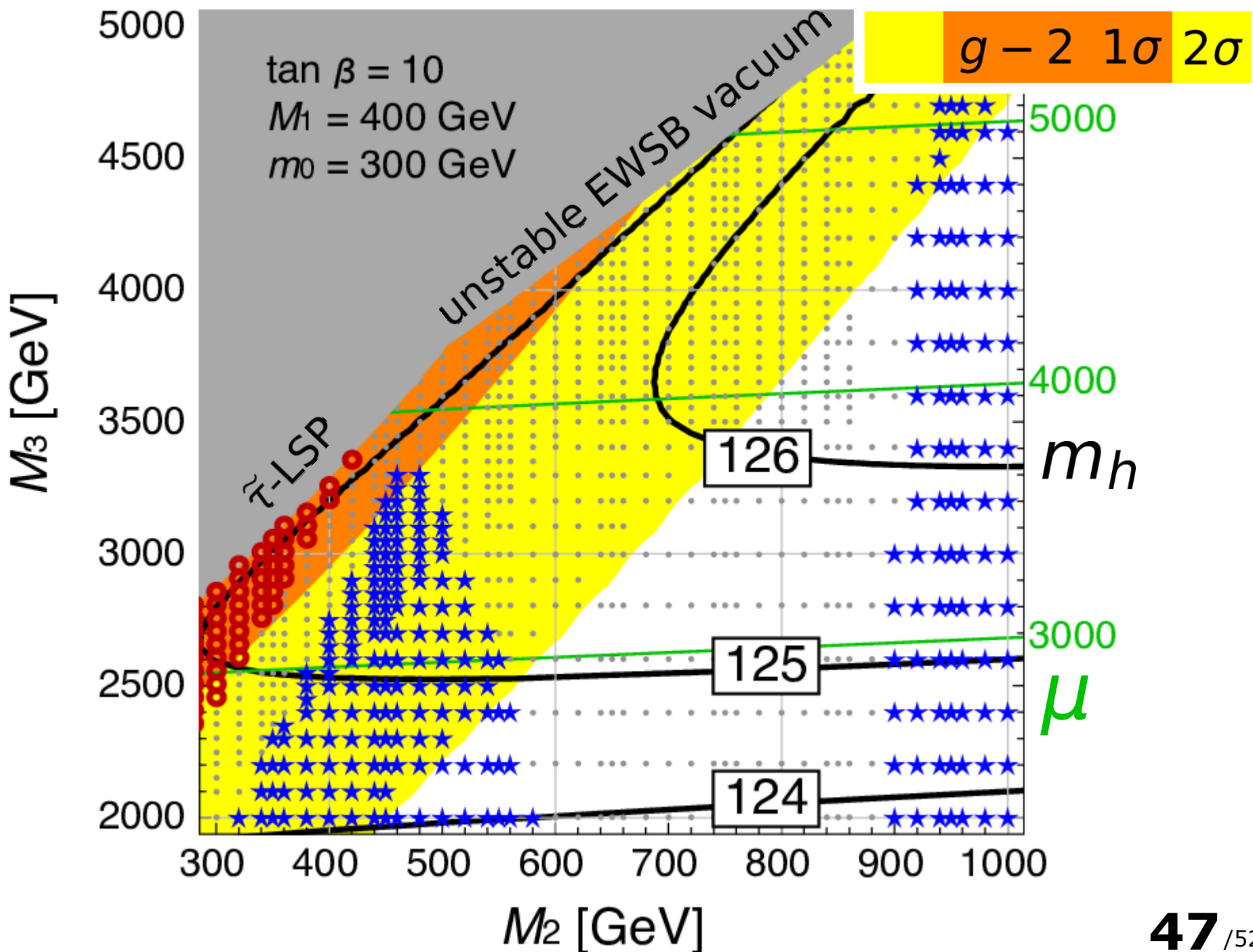


126 GeV  
Higgs

(Note:  $A_0 \lesssim 1 \text{ TeV}$ )

通常の NUGM ではない！





5000

 $\tan \beta = 10$  $M_1 = 100 \text{ GeV}$ 

vacuum

 $g - 2$   $1\sigma$   $2\sigma$ 

**死** :  $pp \rightarrow \tilde{l}\tilde{l} \rightarrow 2l + E_T$

5000

 $M_3 [\text{GeV}]$ 

400

3500

3000

2500

2000

**生** :  $pp \rightarrow \tilde{\chi}^+ \tilde{\chi}^0 \rightarrow \tilde{l}\tilde{l}l\nu \rightarrow 3l + E_T$

$\rightarrow \tilde{\tau}\tilde{\tau}\tau\nu \rightarrow 3\tau + E_T$

126

 $m_h$ 

125

3000

124

**生** : 重い $M_2 [\text{GeV}]$ **48** / 52

5000

 $\tan \beta = 10$  $M_1 = 100 \text{ GeV}$ 

vacuum

 $g - 2$   $1\sigma$   $2\sigma$ 

**死** :  $pp \rightarrow \tilde{l}\tilde{l} \rightarrow 2l + E_T$

5000

 $M_3 [\text{GeV}]$ 

400

3500

3000

2500

2000

300

400

500

600

700

800

900

1000

 $M_2 [\text{GeV}]$ 

**生** :  $pp \rightarrow \tilde{\chi}^+ \tilde{\chi}^0 \rightarrow \tilde{l}\tilde{l}\ell\nu \rightarrow 3l + E_T$

$\rightarrow \tilde{\tau}\tilde{\tau}\tau\nu \rightarrow 3\tau + E_T$

126

 $m_h$ 

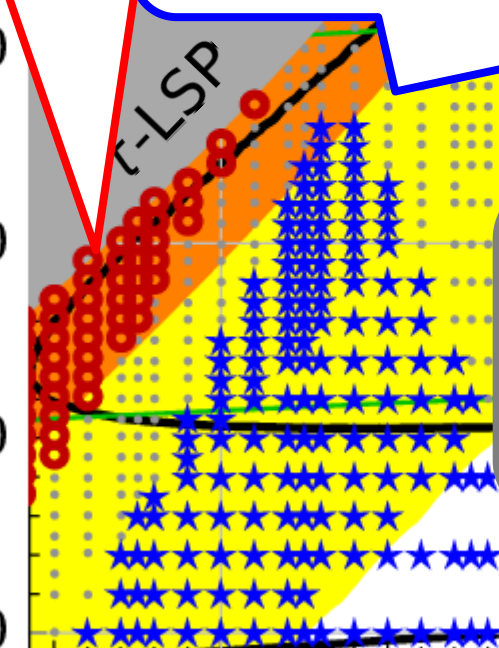
3000

複雑なので  
だるいので  
解析せず

**生** : 重い

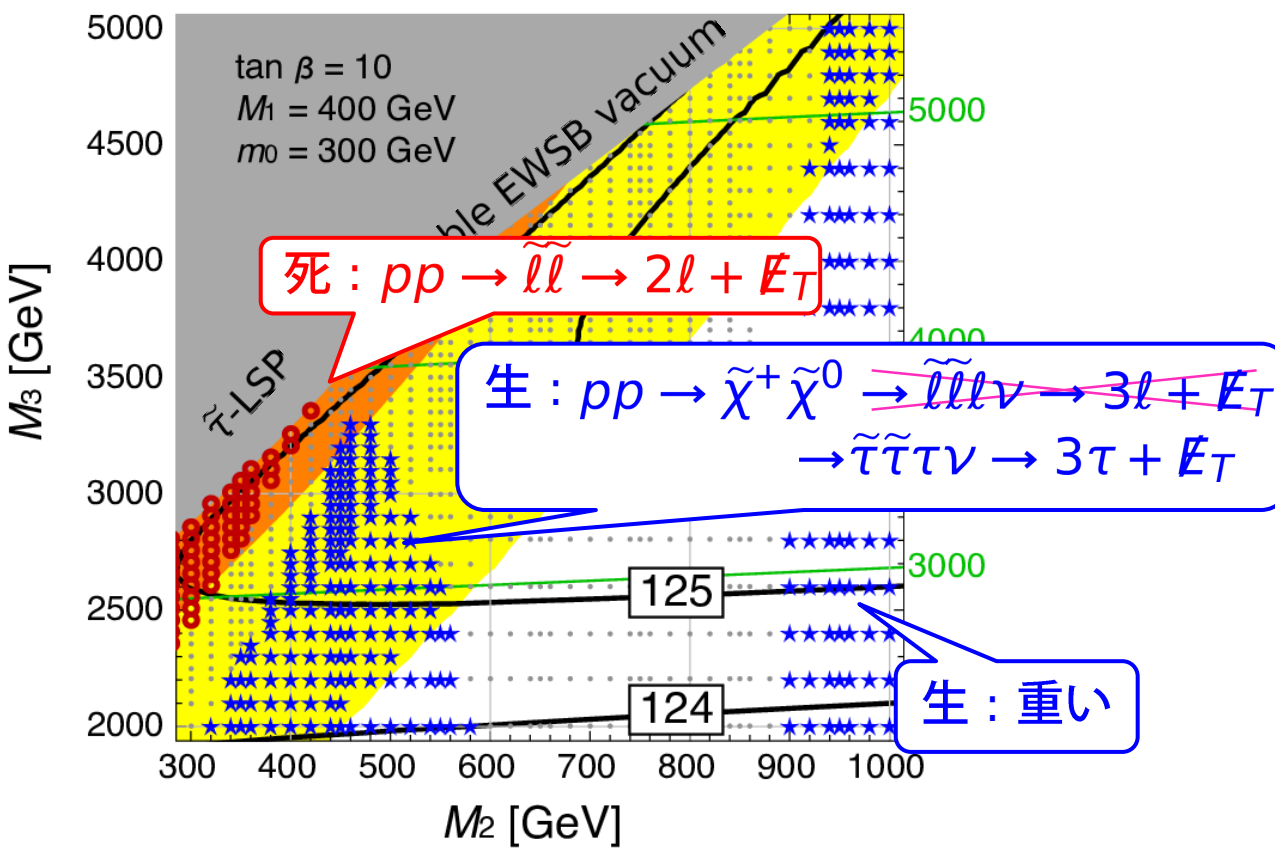
124

c-LSP



# ◎ $(g - 2)_\mu + \text{Universal } (\tilde{e}, \tilde{\mu}, \tilde{\tau}) \text{ mass}$

- $pp \rightarrow \tilde{l}\tilde{l}$  : 少ないが、確実。BKG を理解する必要あり。
- $pp \rightarrow \tilde{\chi}^+ \tilde{\chi}^0$ : 大量。しかし  $\tau$  に行きたがる。  
どうやって  $\tau$  を見るか？



Considered constraints

- $2\ell + \cancel{E}_T$  [ATLAS \[1403.5294\]](#)
  - $pp \rightarrow \tilde{l}_{L/R}\tilde{l}_{L/R}$
  - $pp \rightarrow \tilde{\chi}^+\tilde{\chi}^- (WW)$
  - $pp \rightarrow \tilde{\chi}^+\tilde{\chi}^- (0.5\text{-slep med.})$
- $2\tau + \cancel{E}_T$  [ATLAS \[1407.0350\]](#)
  - $pp \rightarrow \tilde{\tau}_{1,2}\tilde{\tau}_{1,2}$
  - $pp \rightarrow \tilde{\chi}^+\tilde{\chi}^- (WW)$
  - $pp \rightarrow \tilde{\chi}^+\tilde{\chi}^- (0.5\text{-stau med.})$
- $3(\ell, \tau) + \cancel{E}_T$  [ATLAS \[1402.7029\]](#)
  - $pp \rightarrow \tilde{\chi}^+\tilde{\chi}^0 (0.5\text{-slep med.})$
- $2\ell + \cancel{E}_T$  and  $3(\ell, \tau) + \cancel{E}_T$ 
  - $pp \rightarrow \tilde{\chi}^+\tilde{\chi}^0 (WZ)$
- $4\ell + \cancel{E}_T$  [ATLAS \[1405.5086\]](#)
  - $pp \rightarrow \tilde{\chi}_2^0\tilde{\chi}_2^0 (0.5\text{-slep med.})$

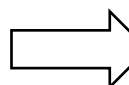


$$K = s(Z + Z^*) + |Q_\alpha|^2$$

$$W = C + W_{\text{vis}}$$

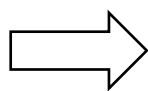
- CP-safe gravity mediation  
= Shift sym. of  $Z$  & ~~SUSY~~ in  $K$

- SUSY CP 問題をかなり解決。 $(A_{u,d,e}, M_{1,2,3}, \mu, B)$



- $\mathcal{O}(100) \text{ GeV SUSY}$
- Non-universal  $M_i$

を安心して考えることができる。



例： $(g - 2)_\mu$  解決可能！

Message

CPV なし & Light EWKino 発見 → きっとこの模型！